

1. まえがき 混合砂河床においては、個々の砂粒子の移送速度は粒径によって異なりため流入砂の粒度組成が急に変化した場合、河床砂の粒度組成もそれに応答して場所的・時間的に変化していく。河床高の微小擾乱の伝播という非定常問題の研究本 de Vries¹⁾によると、均一砂河床に関して始まりながら、混合砂河床の場合には河床高の他に砂の粒度組成がもう一つの变量となる。本研究は、均一砂河床水路上流側からの流入砂の粒度組成をわずかに変えたときその影響がどのように下流に伝播していくかについて考察したものである。

2. 粒度組成に関する微小擾乱の伝播速度 まず河床上で移動している砂の平均的厚さを \bar{s} (平均的dune波高の約1/2)、 p_i を粒径 d_i の砂の流量、 f_i を河床における粒径 d_i の砂の占める重量割合、 α を砂の空隙率、 Z 、 X 、 Z を河床高、流下方向距離、経過時間とすると、粒径 d_i の砂の連続式および全流域に対する連続式はそれぞれ次式のようになる。ただし、 $s_{st} = \frac{1}{2} f_i d_i$ である。

$$(1-\alpha) p_i \frac{\partial}{\partial t} (Z - s) + \frac{\partial}{\partial X} \{ f_i (1-\alpha) p_i \} + \frac{\partial s_{st}}{\partial X} = 0 \quad \dots(1), \quad (1-\alpha) \frac{\partial}{\partial t} (Z - s) + \frac{\partial}{\partial X} \{ f_i (1-\alpha) \} + \frac{\partial s_{st}}{\partial X} = 0 \quad \dots(2)$$

s_{st} は平野²⁾、芦田・道上³⁾によると、 f_i を混合砂中の各粒径砂に対する限界揚流力を用いて修正した粒径 d_i の均一砂に対する流砂量とすると、 $f_{st} = p_i \cdot f_i$ $\dots(3)$ とするが、 f_m を d_m (平均粒径) のときの f_i とすると、 $f_{st} = f_m$ $\dots(4)$ である。一方、流域に関する運動方程式と連続式は式(1)と式(2)より表わされる。

$\frac{\partial u}{\partial t} + u \frac{\partial u}{\partial X} + g \frac{\partial u}{\partial Z} + g \frac{\partial Z}{\partial X} = -\frac{C_b}{f_m R_b} \quad \dots(5), \quad \frac{\partial h}{\partial t} + \alpha(hu) = 0 \quad \dots(6)$, ただし、 u は流速、 h は河床せん断力、 R_b は水の密度、 R_b および h はそれぞれ深さおよび水深である。流域のみに注目した時には式(5)および(6)の特性曲線法を用いて水面での微小擾乱の伝播速度 $C_{1,2}$ を求めることができる。簡単に見てみると、 $C_{1,2} = (dx/dt)_a = u \pm \sqrt{gh} \quad \dots(7)$ である。de Vries¹⁾ は河床高の擾乱の伝播速度 C_3 を $C_3 \ll |C_{1,2}|$ の仮定のもとに、 $C_3 = \frac{1}{1-\alpha} \frac{1}{1-f_m} \frac{1}{R_b} \frac{\partial f_m}{\partial u} \cdot u \quad \dots(8)$ となることを示している。ただし、 $R_b = u/\sqrt{gh}$ である。これはさらに各粒径 d_i の砂の連続式(1)を加えて粒度組成 p_i の擾乱伝播速度を $C_3 \ll |C_{1,2}|$ の仮定より式(5)を代入し、 $\frac{\partial f_i}{\partial t} + R_b = W$ 、 $\alpha = 1/(1-\alpha)$ とし、 δ および d を一定とすると、次式の関係 $du = \frac{\partial u}{\partial t} dt + \frac{\partial u}{\partial X} dx, dz = \frac{\partial Z}{\partial t} dt + \frac{\partial Z}{\partial X} dx, df_i = \frac{\partial f_i}{\partial t} dt + \frac{\partial f_i}{\partial X} dx \quad \dots(9)$ が得られる。ただし、 $\beta = u(1 - 1/R_b^2)$ である。

$$\begin{pmatrix} 0 & \rho & 0 & g & 0 & 0 \\ 0 & \alpha p_i (\partial f_i / \partial u) & p_i & 0 & \delta & \alpha (\partial f_i / \partial p_i) \\ 0 & \alpha (\partial f_i / \partial u) & 1 & 0 & 0 & 0 \\ dt & dx & 0 & 0 & 0 & 0 \\ 0 & 0 & dt & dx & 0 & 0 \\ 0 & 0 & 0 & 0 & dt & dx \end{pmatrix} \begin{pmatrix} \frac{\partial u}{\partial t} \\ \frac{\partial u}{\partial X} \\ \frac{\partial Z}{\partial t} \\ \frac{\partial Z}{\partial X} \\ \frac{\partial f_i}{\partial t} \\ \frac{\partial f_i}{\partial X} \end{pmatrix} = \begin{pmatrix} -W \\ 0 \\ 0 \\ dx \\ dt \\ dp_i \end{pmatrix} \quad \dots(10)$$

特性曲線法は從って(A) $\alpha \frac{dt}{dx} - 1$ ナントを 0 にすることによりて、 $X - x$ 平面上における特性方向 dy/dt を求めることができる。すなはち、 $|A| = dt \{ -\rho \delta (dx)^2 + \alpha \beta \frac{\partial s_{st}}{\partial p_i} dx dt - \rho \delta \alpha \frac{\partial f_m}{\partial x} dt dx + \alpha^2 g \frac{\partial f_i}{\partial p_i} \frac{\partial f_m}{\partial x} (dt)^2 \} = 0 \quad \dots(11)$ とし、

$$dt = 0 \quad \dots(12), \quad C_3 = \left(\frac{dx}{dt} \right)_a = -\frac{g d}{\beta} \frac{\partial f_m}{\partial u} = \frac{1}{1-\alpha} \cdot \frac{1}{R_b} \frac{\partial f_m}{\partial u} \cdot u \quad \dots(13) \text{ および } C_{ai} = \left(\frac{dx}{dt} \right)_{p_i} = \frac{d}{\delta} \frac{\partial f_i}{\partial p_i}$$

$= \frac{1}{1-\alpha} \frac{1}{R_b} (f_i + p_i \frac{\partial f_i}{\partial p_i}) \quad \dots(14)$ が得られる。式(12)は C_3 または C_{ai} が $C_{1,2}$ に比して $C_{1,2} = \pm \alpha D$ とみなせることが示されており、 C_3 または C_{ai} $\ll |C_{1,2}|$ の仮定をすれば式(12)が得られる。式(13)は河床高の微小擾乱の伝播速度であるが、de Vries¹⁾ が求めた式(8)と一致する。式(14)は粒径 d_i の砂の河床に占める割合 p_i の微小変化が下流側に伝播する速度であり、 δ および f_i を考えれば C_{ai} が求まることがわかる。いま、 $f_i = C \sqrt{g d_i^3} (Z_{rei} - Z_{xci})^n \quad \dots(15)$ とすると流れ量式を導く。ここで、 $C = p_i / R_b - 1$ 、 R_b は砂の密度、 Z_{rei} ($= C_d g^2 / \alpha g d_i$) は無次元有効揚流力、 Z_{xci} は Erganoff⁴⁾ によれば $Z_{xci} = K / (\log(19 \frac{d}{d_m}))^2 \quad \dots(16)$ である。ただし、 C 、 n および K は定数である。式(15)

式(11)を Meyer-Peter & Müller の式で用いたと、 $C=8$, $n=3/2$, $K=0.078$ とした。ここで、 p_i は微小擾乱であることを河床形状の変化はほとんどないとすると、 $\partial Z_{rei}/\partial p_i \approx 0$ である。また、 $\partial Z_{aci}/\partial p_i$ は $\sim 1/2$ は、 $d_m = \sum p_i d_i$ であるから、 $\partial Z_{aci}/\partial p_i = (dZ_{aci}/dm) \cdot dm/dp_i$ となる。 i が $1, 2, \dots, n$ の式(14)は、次式のように表される。

$$C_{ai} = \frac{\alpha}{\delta} C \sqrt{g d_i^3} (Z_{rei} - Z_{aci})^n + \frac{\alpha}{\delta} n C \sqrt{g d_i^3} (Z_{rei} - Z_{aci})^{n-1} \left(-\frac{dZ_{aci}}{dm} \right) \frac{\partial dm}{\partial p_i} \cdot p_i \quad \dots \dots (16)$$

ここで i は $dZ_{aci}/dm = 0.156 (\log 10 d_i/m)^{-3} \text{dm}^{-1}$ である。

流入砂の中での粒径 d_i の砂の占める割合 $p_i^{(1)}$ は $p_i^{(1)} = \frac{d_i}{d_m}$ で河床砂の粒度の割合 $p_i^{(0)}$ と異なるとき、式(16)で計算された C_{ai} は $C_{ai}^{(1)}$ ではなく $C_{ai}^{(0)}$ と異なるが、图-1にそれらの大小によくて河床砂の p_i の変化特性が異なることが示されている。すなわち、 $C_{ai}^{(0)} > C_{ai}^{(1)} > C_{ai}$ かつ主として p_i の分布は時間の経過とともに平坦になり、逆に $C_{ai}^{(0)} < C_{ai}^{(1)} < C_{ai}$ のときは最終的にはショットフロンティを形成し、 p_i の微小擾乱は $C_{ai}^{(4)} = (p_i^{(2)} C_{ai}^{(2)} - p_i^{(0)} C_{ai}^{(0)}) / (p_i^{(2)} - p_i^{(0)})$ である。 i が下流に伝達される。

3. 実験および結果の考察 実験は上流端に自動給砂装置を有する幅 $0.5m$ 、長さ $23m$ 、深さ $0.5m$ の長方形断面コンクリート製水路を行い、表-1に示す条件で行なわれた。河床砂の粒度組成を調べた結果の移動層での p_i の平均を求めた d_m と $dunes$ 峰から谷まででの砂について行った。 i は式(3)および式(15)を用いて調べたもので、定常状態における流入(流出)土砂の d_i の割合 p_i' と河床砂の割合 p_i の関係 $p_i' = p_i f_i / \sum p_i f_i = p_i f_i / \sum f_i$ (a) を用いている。すなわち河中破線で示された曲線は河床砂の粒度分布であり、実線は確率から式(3)、(15)および(a)を用いて求めた計算曲線であるが、丸印で示される実測値とほぼ一致していることが認められる。河床の粒度組成の変化に関する実験 Run 2, Run 4 の結果を图-3に示してある。すなわち、图-2(a)の sand(A) および sand(B) を粒径 d_1 および d_2 の均一砂とみなして、それらの河床砂の占める割合を p_1 および p_2 とすると、Run 1 では $p_1 = 0$, $p_2 = 1$ の河床へ上流域からの $p_1' = 0.25$ ($p_1 = 0.20$), $p_2' = 0.75$ の砂が供給され、それとその河床の粒度組成の時間的、場所的変化を求める。Run 2 では粒度組成が逆の場合について見てある。

图中太線で示されている曲線は $d_m = d_1 p_1 + d_2 p_2 = p_1 (d_1 - d_2) + d_2$ である。
 $\frac{\partial d_m}{\partial p_i} = (d_1 - d_2)$ の関係および式(16)を用いて計算した t と x との関係である。堆砂を適切に行なうこととの関係を中心に述べてある。実験データと理論曲線がかなり高い一致をもつた。

本研究はオランダデルフト工科大学の de Vries 教授指導のもとになされた。謝意を表す。

参考文献

- 1) de Vries, M.: Consideration about non-steady transport in open channels, IAHR, Leiden, 1965
- 2) 年野: 亂れによる河床変形, 土木学会誌, 1957, 1958, 1959
- 3) 菊田、道上: 河床砂粒度組成と移動層の関係, 土木学会誌, 1977
- 4) Egorzoff, I. V.: Calculation of Nonuniform Sediment Concentration, Proc. ASCE, H14, 1965

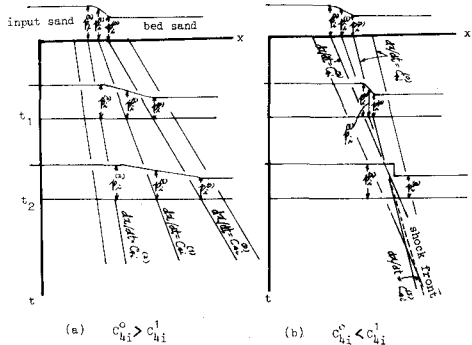


図-1 粒度組成擾乱伝播

表-1 実験条件

Run	1	2	3	4
bed sand	sand (a) 100%	(a) 100%	sand (b) 100%	(b) 100%
input sand	(a) 100%	(d) 75% (b) 25%	(b) 100%	(a) 25% (b) 75%
bed slope i	1.10×10^{-3}	1.10×10^{-3}	1.06×10^{-3}	1.00×10^{-3}
water depth(m)	0.185	0.190	0.185	0.200
flow velocity(m/s)	0.49	0.47	0.49	0.45

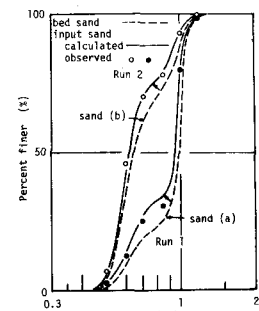


図-2 流動上の河床砂の粒度分布

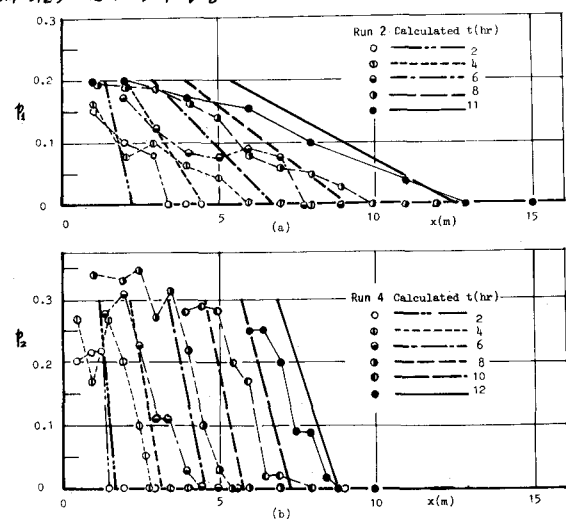


図-3 河床砂粒度組成の時間変化